

آنالیز بیان ژن و فعالیت آنزیمی آسکوربات پراکسیداز در لایه آلوون تیمار شده

با هورمون جیبرلیک اسید، آبسیزیک اسید و سالیسیلیک اسید

*نسیم طلایی و آذر شاهپیری

گروه بیوتکنولوژی کشاورزی، دانشکده کشاورزی، دانشگاه صنعتی اصفهان

(تاریخ دریافت: ۱۳۹۲/۱۱/۲۹ ، تاریخ پذیرش نهایی: ۱۳۹۳/۰۵/۲۸)

چکیده:

لایه آلوون لایه‌ای نازک در بذر غلات می‌باشد که در جوانه‌زنی بذر نقش کلیدی دارد. امکان جداسازی لایه آلوون بذر جو از سایر بافت‌های بذر و هم‌چنین کشت آن در بافر مناسب، باعث شده تا محققان آن را به عنوان سیستم مدل برای مطالعه سیگنال‌های گیاهی در سطح مولکولی استفاده کنند. در این مطالعه اثر سه هورمون جیبرلیک اسید (GA)، آبسیزیک اسید (ABA) و سالیسیلیک اسید (SA) بر روی بیان دو ژن کد کننده آسکوربات پراکسیداز (Apx) و Apx2 در آلوون تیمار شده با این هورمون‌ها در زمان‌های مختلف ۶، ۱۲، ۱۸، ۲۴ و ۷۲ ساعت مورد بررسی قرار گرفت. نتایج نشان داد که هر دو ژن Apx1 و Apx2 در لایه آلوون بیان می‌شود و سطح بیان آنها در لایه آلوون تحت تاثیر هورمون‌ها قرار نمی‌گیرد. همچنین فعالیت آنزیمی Apx در آلوون تیمار شده با این هورمون‌ها مورد بررسی قرار گرفت. فعالیت آنزیمی در لایه آلوون تیمار شده با GA بین ۲۴–۷۲ ساعت تیمار شروع به کاهش کرد که با فعالیت آنزیمی در لایه آلوون تیمار شده با دیگر هورمون‌ها و محیط فاقد هورمون تفاوت قابل توجهی نشان داد.

کلمات کلیدی: آبسیزیک اسید، آسکوربات پراکسیداز، جیبرلیک اسید، سالیسیلیک اسید، فعالیت آنزیمی، لایه آلوون.

مقدمه:

گیاهچه را فراهم می‌کنند (Ritchie *et al.*, 2000). آمینواسیدهای مورد نیاز برای سنتز آنزیم‌های هیدرولیتیکی که از لایه آلوون ترشح می‌شود از ذخایر پروتئینی موجود در واکوئل‌های ذخیره‌ای لایه آلوون تامین می‌گردند (Jones, 1969). همچنین انرژی مورد نیاز برای متابولیسم سلولی لایه آلوون از ذخایر تری گلیسرید موجود در لایه آلوون تامین می‌گردد. اسیدهای چرب موجود در لایه آلوون در فرایند بتا اکسیداسیون می‌سوزد و انرژی لازم برای متابولیسم سلولی لایه آلوون را فراهم مایند (Finnie *et al.*, 2011). متابولیسم سلولی لایه آلوون را آلوون از جمله فرایند بتا اکسیداسیون که با هورمون GA آغاز

لایه آلوون غلات لایه‌ای بسیار نازک است که نقش کلیدی در جوانه زنی دارد (Ishibashi, 2012). به محض جذب آب توسط بذرهای خشک هورمون جیبرلیک اسید (GA) در جنین تولید می‌شود. سپس این هورمون به لایه آلوون بذر فرستاده می‌شود و در لایه آلوون در پاسخ به این هورمون آنزیم‌های هیدرولیتیک سنتز شده و به درون آندوسپرم نشاسته‌ای ترشح می‌شوند (Zentella *et al.*, 2002). این آنزیم‌ها باعث هضم پروتئین‌ها و کربوهیدرات‌های ذخیره در سلول‌های آندوسپرم نشاسته‌ای شده و مواد غذایی لازم برای حمایت از رشد

اکسیدان‌های غیر آنزیمی شامل آسکوربات، توکوفرول، کاروتونوئیدها و ترکیبات متفرقه از جمله فلاونوئیدها، مانیتول‌ها و پلی‌فنول‌ها مسئول تعدیل میزان ROS‌ها در سلول می‌باشد (Mittler *et al.*, 2004). تا کنون مطالعاتی در رابطه با فعالیت آنزیم کاتالاز در لایه آلورون تیمار شده با هورمون‌های GA و ABA صورت گرفته است و نشان داده شده که فعالیت آنزیمی کاتالاز در لایه آلورون تیمار شده با هورمون GA با گذشت زمان کاهش یافته است در حالی که فعالیت این آنزیم در حضور هورمون ABA با گذشت زمان به صورت ثابت باقی مانده است (Fath *et al.*, 2002). در این مطالعه نیز قصد داریم با استفاده از لایه آلورون به عنوان یک سیستم مدل به بررسی بیان ژن کد کننده آنزیم APX که یکی از مهمترین آنزیم‌های مسئول ردoxکس در سلول‌های گیاهی می‌باشد در لایه آلورون تیمار شده با هورمون‌های GA، ABA و SA پیردادیم. به علاوه در این تحقیق فعالیت آنزیمی APX در لایه آلورون مورد مطالعه قرار می‌گیرد و ارتباط فعالیت آنزیم‌های آنتی اکسیدان با مرگ سلولی در لایه آلورون بذر جو تیمار شده با هورموهای مختلف مورد بحث قرار می‌گیرد.

مواد و روش‌ها:

جدا سازی لایه آلورون از دیگر قسمت‌های بذر جو: بذرهای جو رقم فجر ۳۰ از مرکز تحقیقات کشاورزی و منابع طبیعی استان اصفهان تهیه شد. با توجه به اینکه جنین بذر منع تولید هورمون در بذر هنگام جوانه‌زنی می‌باشد، قسمت حاوی جنین که در انتهای شیار هفت مانند بذر قرار گرفته است، با استفاده از اسکالپل از بذر جدا شد. سپس بذرهای فاقد جنین در اتانول ۷۰٪، ضدغونی شدند. بذرهای فاقد جنین شستشو شده در ml استریل شسته شدند. بذرهای فاقد جنین آنتی‌بیوتیک آمپیسیلین ۲۵ آب مقطر استریل حاوی $50\text{ }\mu\text{g}/\text{ml}$ آنتی‌بیوتیک آمپیسیلین به مدت ۴ روز در دمای 4°C خیسانده شدند. بعد از آن پوسته بذر از قسمت رویی آن به آرامی جدا شد و سپس با تراشیدن آندوسپرم نشاسته‌ای به کمک اسکالپل تمیز، آندوسپرم از لایه آلورون جدا شد. بعد از اتمام جداسازی لایه‌های آلورون از بذرها، مقدار mg ۱۰۰ لایه آلورون در ۲ ml بافر مناسب

می‌گردد منجر به تولید گونه‌های واکنش گر اکسیژن مانند رادیکال سوپر اکسید (O_2^-), پراکسید هیدروژن (H_2O_2) و رادیکال هیدروکسیل (OH⁻) می‌شوند (Fath *et al.*, 2002). تجمع ROS در سلول‌ها سبب بروز صدمات در سلول می‌گردد که منجر به مرگ سلول می‌شوند (Bonsager *et al.*, 2010). اکسید شدن لیپیدهای غشاء‌ی و در نتیجه تغییر ساختار غشا و از هم پاشیدگی یکپارچگی آن، تغییر ساختمان پروتئین‌ها و اکسید شدن گروه‌های سولفیدریل (SH-), غیر فعال شدن آنزیم‌ها و آسیب به مولکول‌های آلی مثل DNA از جمله این صدمات می‌باشند (Mohanty, 2003). بعد از ترشح کامل آنزیم‌های هیدرولаз، سلول‌های آلورون زنده دیگر برای بذر لازم نمی‌باشند. لذا پس از فرا رسیدن مرگ سلولی سلول‌های آلورون مرده شبیه سلول‌های آندوسپرم نشاسته‌ای می‌باشند. این سلول های مرده برای تجزیه کامل در معرض آنزیم‌ها قرار می‌گیرند. تجزیه ماکرومولکول‌های باقی مانده در بقایای سلول‌های آلورون مرده، به عنوان ماده غذایی برای جنین به مصرف می‌رسند (Bethke *et al.*, 1999).

تحقیقات قبلی به خوبی نشان داده اند که مرگ سلولی در لایه آلورون بذر غلات توسط هورمون‌ها کنترل می‌گردد. بطوريکه هورمون GA با عث القای مرگ سلولی در لایه آلورون می‌گردد در حالیکه مرگ سلولی در لایه الرون تیمار شده با هورمون ABA به تاخیر می‌افتد (Kuo *et al.*, 1996). لازم به ذکر است که ABA هورمون دیگری است که اثر آنتاگونیستی با GA دارد و از بیان ژن‌های کدکننده آنزیم‌های هیدرولیتیک در لایه آلورون جلوگیری می‌کند (Ho *et al.*, 2003). در طول بالغ شدن بذر، افزایش ABA از جوانه‌زنی بذر جلوگیری می‌کند و باعث ارتقای پر شدن دانه و خشک شدن آن می‌شود (Olsen, 2001). با این حال ABA بیان بسیاری از ژن‌ها که در تحمل به استرس و خواب بذر نقش دارند را تحریک می‌کند (Rock, 2000; Leung, and Giraudat, 1998).

کنترل سطح ROS‌ها در سلولهای زنده اهمیت زیادی دارد. در واقع شبکه‌ای از آنتی اکسیدان‌های آنزیمی مانند سوپر اکسید دیسموتاز (SOD)، کاتالاز (CAT)، آسکوربات پراکسیداز (APX) و گلوتاتیون ردوکتاز (GR) است و آنتی

مرحله قبل، آنزیم Taq DNA پلیمراز (Fermentas) و آغازگرهای اختصاصی، واکنش PCR انجام شد. محصول بر روی ژل آکارز ۱/۲ درصد بارگذاری شد. شدت باند ها با استفاده از نرم افزار Image J به دست آمد. سپس نسبت شدت باند مربوط به Apx نسبت به شدت باند مربوط به 18srRNA محاسبه شد و نمودارهای ستونی با استفاده از میانگین سه تکرار رسم شد.

استخراج پروتئین محلول کل از لایه آلورون و تخمین غلظت پروتئین: برای استخراج پروتئین از لایه های آلورون جدا شده، ابتدا ویال های حاوی آنها به مدت ۴-۳ ساعت در دستگاه سانتریفیوژ تحت خلا قرار داده شدند تا آب آنها کاملاً گرفته و خشک شوند. لایه های آلورون خشک شده در هاون های چینی کاملاً استریل و سرد کوبیده شدند و به پودر تبدیل شدند. برای استخراج پروتئین از لایه های آلورون از مقدار $1\text{ }\mu\text{l}$ با $\text{pH}=7/5$ در 5 mM Tris-HCl و 1 mM استخراج استریل (CaCl_2) و سرد استفاده شد. لازم به ذکر است جهت جلوگیری از فعالیت آنزیم های پروتئاز در محیط $1\text{ }\mu\text{l}$ بازدارنده پروتئاز (فرمتاز) به بافر اضافه شد. برای استخراج بیشتر پروتئین از لایه های آلورون و به دست آوردن مخلوط همگن، در داخل هر ویال ۳-۲ عدد از تیله های شیشه ای استریل قرار داده شدند و چند ثانیه بر روی دستگاه ورتكس نگه داشته شدند. سپس ویال ها بر روی شیکر در دمای 40°C به مدت ۳۰ دقیقه و با نگهداری شدند. ویال ها در دمای 40°C به مدت ۲ دقیقه و با سرعت 8000 دور در دقیقه سانتریفیوژ شدند. مایع رویی جمع آوری شد و به ویال های جدید منتقل شدند. سپس ویال ها در دمای 40°C و به مدت ۱۰ دقیقه و با 12000 دور در دقیقه سانتریفیوژ شدند. در این مرحله مقدار $1\text{ }\mu\text{l}$ $500\text{ }\mu\text{l}$ مایع رویی به داخل ویال جدید و سرد انتقال داده شدند و در دمای -80°C نگهداری شدند. برای تعیین غلظت پروتئین کل موجود در لایه آلورون از روش بر دفورد استفاده شد. منحنی استاندارد با استفاده از پروتئین بوین سرم آلبومین (BSA) رسم شد.

فعالیت آنزیمی Apx: واکنش در حجم $300\text{ }\mu\text{l}$ میکرو لیتر شامل پتاسیم فسفات $50\text{ }\text{mM}$ میلی مولار با pH برابر 7 EDTA با

$20\text{ }\mu\text{g/ml}$ سوکسینات سدیم، $20\text{ }\text{mM}$ کلرید کلسیم و $50\text{ }\mu\text{M}$ آنتی بیوتیک آمپی سیلین در $\text{pH}=4/2$ (حاوی یکی از هورمون های GA $(5\text{ }\mu\text{M})$ ، هورمون SA $(20\text{ }\mu\text{M})$ و هورمون ABA $(20\text{ }\mu\text{M})$ و همچنین تیمار بدون هورمون به عنوان شاهد در زمان های مختلف $6, 12, 18, 24, 36$ و 48 ساعت انکوبه شدند. در پایان مدت زمان تعیین شده لایه های آلورون از هر تیماری وسیله پنس تمیز جمع آوری و پس از شستشو با بافر بالا، در داخل ویال استریل قرار داده شدند. جهت نگهداری لایه های آلورون ویال های حاوی لایه آلورون برای مدت چند دقیقه در ازت مایع قرار گرفتند و سپس تا زمان استفاده در فریزر 80°C - نگهداری شدند.

استخراج RNA کل از لایه آلورون: محتوای RNA کل از آلورون ها با استفاده از کیت High pure RNA isolation (Roche) استخراج و جهت حذف الودگی DNA، نمونه ها توسط محلول DNase Fاقد RNase، تیمار شدند. غلظت RNA کل با استفاده از اسپکترو فوتومتر با اندازه گیری در جذب 260 نانومتر تعیین شد.

آنالیز بیان ژن آسکوربات پراکسیداز در لایه آلورون: آنالیز بیان ژن با استفاده از روش semi-quantitative RT-PCR انجام شد. لازم به ذکر است ژن rRNA 18s به عنوان استاندارد داخلی استفاده شد. بدین منظور محتوای RNA $0/1$ میکرو گرم) با استفاده از واکنش نسخه برداری معکوس (-RT PCR) و توسط کیت AMV Reverse Transcriptase (Fermentas) و آغازگر Oligo dT (Fermentas) جهت تهیه cDNA مورد استفاده قرار گرفت.

جفت پرایمراهای اختصاصی Apx2F-Apx1R-Apx1F و Apx1R به ترتیب بر اساس توالی ژن کد کننده آنزیم Apx2R (AF411228) و Apx2 (AJ006358) در گیاه جو طراحی شد (جدول ۱). لازم به ذکر است با توجه به شباهت بالای توالی این دو ژن طراحی پرایم اختصاصی برای هر ژن از روی ۱۸sF و ۱۸sR بر اساس توالی ۱۸srRNA موجود از گیاه جو در بانک ژنی طراحی شد. سپس با استفاده از cDNA تولید شده در

جدول ۱- توالی پرایمرهای استفاده شده در این تحقیق

Primers	Sequences
Apx1F	GCAAGTCCTTGGGAAGCAGA
Apx1R	AGTTTGTCACGGAAAGCTGAAG
Apx2R	CAGGCAGGTGTTCCACTC
Apx2F	CCTTGTGGCGGCAACT
srRNAs ¹⁸	CTACGTCCTGCCCTTGTACA
srRNAs ¹⁸	ACACTTCACCGGAC-CATTCAA

تخمین غلظت پروتئین محلول کل و تأثیر هورمون‌ها بر فعالیت آنزیمی Apx در لایه آلوون: تخمین غلظت پروتئین-های استخراج شده از مقدار یکسانی AL-ABA، AL-GA و $20\mu M$ AL-SA در زمان‌های ۶ تا ۴۸ ساعت انکوباسیون، تفاوت معنی‌داری در مقایسه با تیمار شاهد در همان زمان انکوباسیون نداشت. با این حال پس از ۷۲ ساعت انکوباسیون، مقدار پروتئین محلول استخراج شده از لایه‌های آلوون تیمار هورمونی GA در این زمان کاهش معنی‌داری نشان داد (شکل ۲). این درحالی است که این کاهش در AL-SA، AL-ABA در مقایسه با تیمار شاهد در این زمان مشاهده نشد.

فعالیت آنزیمی APX در AL-GA بین ۶-۲۴ ساعت انکوباسیون روند رو به افزایشی را نشان داد. با این حال بین ۷۲-۲۴ ساعت انکوباسیون فعالیت آنزیمی روند رو به کاهش قابل توجهی داشت (شکل ۳). فعالیت آنزیمی Apx در AL-control بین ۴۸-۶ ساعت انکوباسیون روند رو به افزایشی را نشان می‌دهد. با این حال فعالیت آنزیمی Apx بعد از ۷۲ ساعت در مقایسه با فعالیت آنزیم بعد از ۴۸ ساعت هیچ تغییری نداشت. فعالیت آنزیمی Apx در AL-ABA بین ۷۲-۶ ساعت انکوباسیون روند رو به افزایشی را نشان داد. در این تیمار بر خلاف آلوون های کشت شده در محیط فاقد هورمون میزان فعالیت آنزیمی Apx در آلوون های انکوبه شده به مدت ۷۲ ساعت به طور قابل توجهی بیش از فعالیت آنزیمی Apx در آلوون های انکوبه شده به مدت ۴۸ ساعت بود. فعالیت آنزیمی در ۲۰ AL-SA بین ۷۲-۶ ساعت انکوباسیون تقریباً ثابت باقی ماند (شکل ۳).

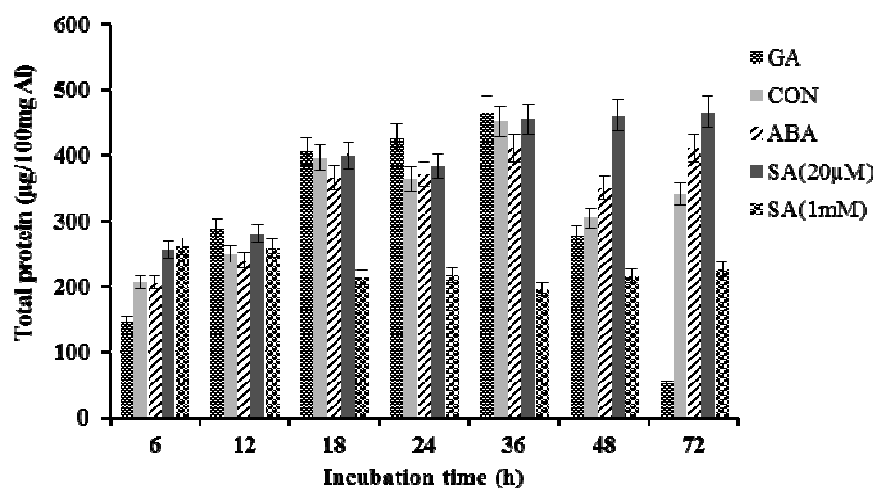
بحث:

کترل ROS در طول جوانه زنی بذر غلات توسط آنزیم‌های مختلفی صورت می‌گیرد. چرخه آسکوربیات-گلوتاتیون یکی

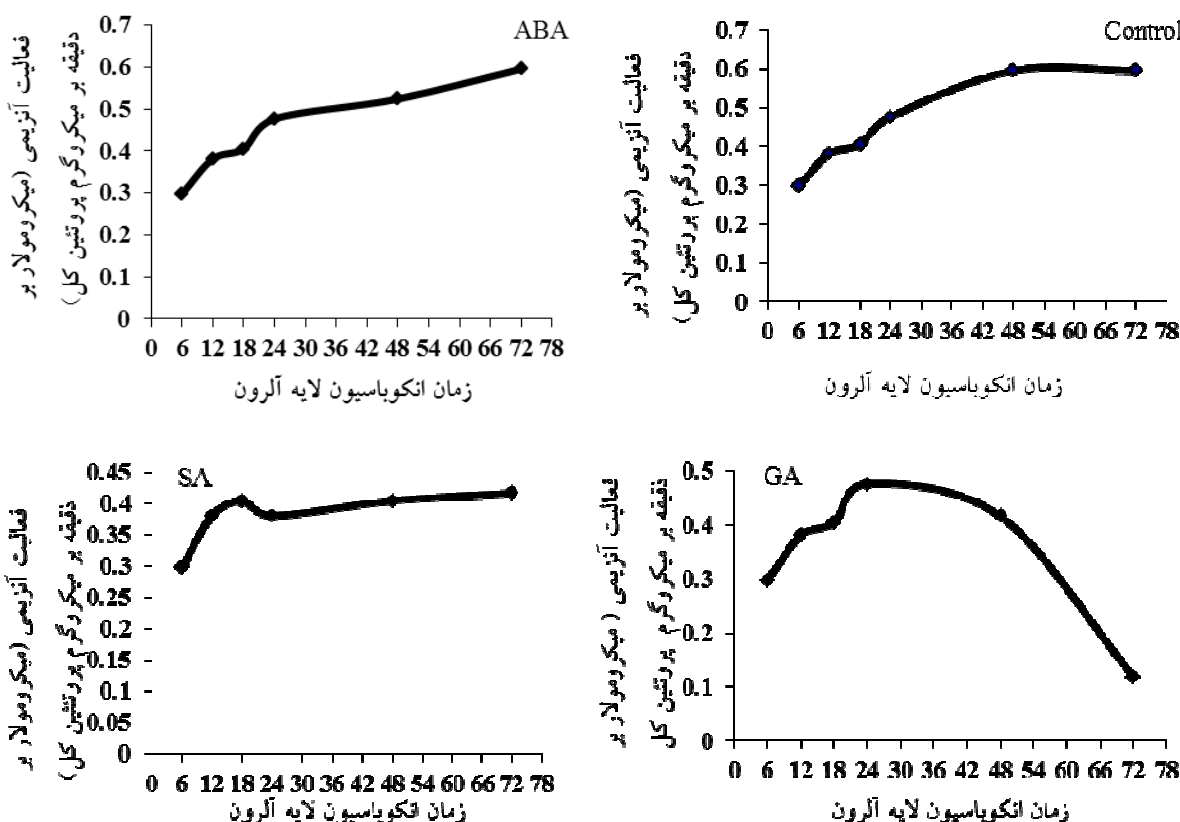
غلظت ۰/۱ میلی مولار، H_2O_2 با غلظت ۱ میلی مولار، آسکوربیک اسید با غلظت ۱ میلی مولار با اضافه کردن ۳۰ میکرو گرم از پروتئین‌های استخراج شده در دمای آزمایشگاه انجام شد. مقدار جذب نوری در طول موج ۲۹۰ نانومتر، با استفاده از دستگاه اسپکتروفتوometر (Beckman DU 530) اندازه گیری شد. لازم به ذکر است یک واکنش حاوی تمام ترکیبات ذکر شده در واکنش بدون حضور پروتئین به عنوان واکنش کترول در نظر گرفته شد. فعالیت آنزیمی بر اساس میزان مصرف آسکوربیک اسید در واحد زمان در واحد وزن پروتئین کل وارد شده در واکنش محاسبه شد. ضریب خاموش مولی برای آسکوربیک اسید $2/8 \text{ mM}^{-1}\text{Cm}^{-1}$ در نظر گرفته شد.

نتایج:

آنالیز بیان ژن Apx در لایه آلوون تیمار شده با هورمون: باند مربوط به هر دو ژن Apx1 و Apx2 در لایه آلوون کشت داده شده در محیط فاقد هورمون (AL-Control) و همچنین در لایه های آلوون تیمار شده با GA (AL-GA)، تیمار شده با ABA و تیمار شده با SA در غلظت ۲۰ میکرومولار ($20\mu M$) در زمان‌های مختلف مشاهده شد (شکل ۱). شدت این باند در زمان‌های انکوباسیون ۶، ۱۲، ۱۸، ۲۴ و ۴۸ ساعت تقریباً یکسان بود. لازم به ذکر است با توجه به اینکه غلظت RNA استخراج شده در AL-GA بعد از ۷۲ ساعت انکوباسیون به شدت کم بود آنالیز بیان ژن در این تیمار فقط تا ۴۸ ساعت پس از انکوباسیون مورد مطالعه قرار گرفت. با این حال در AL-SA- $20\mu M$ و AL-ABA، AL-control شدت باند مربوط به هر دو ژن Apx1 و Apx2 در ۷۲ ساعت اندکوباسیون با شدت باند این دو ژن در زمان‌های اولیه انکوباسیون تقریباً یکسان بود.



شکل ۲- مقایسه پروتئین محلول کل استخراج شده از ۱۰۰ میلی گرم لایه های آلوون تیمار شده با هورمون های GA، ABA، ۲۰ μM SA و ۱ mM SA (نمونه ای از تکرار آزمایش نشان داده شده است).



شکل ۳- فعالیت آنزیمی APX در پروتئین های استخراج شده از زمان های ۶-۷۲ ساعت پس از انکوباسیون.

چرخه با فعالیت آنزیم Apx مولکول H_2O_2 به آب و اکسیرین تبدیل می شود. این عمل از طریق اکسید شدن آسکوربیک اسید

از مهمترین سیستم های کنترل سطح ROS می باشد. در این چرخه آنزیم های مختلفی درگیر می باشند. در واقع در این

نمی شود. اما بررسی فعالیت آنزیمی Apx در این تحقیق نشان می دهد فعالیت این آنزیم در لایه آرلون پس از ۲۴ ساعت تیمار با GA شروع به کاهش می نماید. از طرفی فت و همکاران در سال ۲۰۰۱ با استفاده از تکنیک وسترن بلاست و آنتی بادی اختصاصی علیه Apx نشان دادند که مقدار این آنزیم در AL-GA با افزایش انکوباسیون کاهش ابد. در حالیکه میزان این آنزیم در AL-Control با AL-ABA با افزایش زمان انکوباسیون ثابت باقی می ماند. لذا به نظر می رسد هورمون GA اگرچه بر روی بیان دو ژن تاثیری نداشت ولی به طور قابل توجهی باعث کاهش مقدار و فعالیت این دو آنزیم می شود.

بررسی مقدار پروتئین استخراج شده از لایه آرلون نیز نشان داد که بعد از ۷۲ ساعت انکوباسیون لایه آرلون در GA مقدار بسیار ناچیزی پروتئین در لایه آرلون وجود دارد. این در حالی است که در لایه آرلون تحت تیمار ABA و یا SA و همچنین لایه های آرلون قرار گرفته در محیط کشت فاقد هورمون کاهش محسوسی در مقدار پروتئین استخراج شده بعد از ۷۲ ساعت انکوباسیون مشاهده نمی شود. این کاهش قابل توجه در مقدار پروتئین کل قابل استخراج از AL-GA بعد از ۷۲ ساعت انکوباسیون را شاید بتوان به مرگ سلولی نسبت داد که بیش از این نشان داده شده که با حضور GA تسریع می گردد و بر عکس با حضور ABA به تاخیر می افتد. کاهش قابل توجه در فعالیت آنزیمی Apx در لایه های آرلون تیمار شده با هورمون GA را شاید بتوان یکی از دلایل اصلی در عدم کنترل ROS و در نتیجه تسریع مرگ سلولی در حضور GA دانست.
(Kuo *et al.*, 1996)

cells. Journal of Experimental Botany. 53: 1273-1282.

- Finnie, C., Andersen, B. Shahpiri, A. and Svensson, B. (2011) Proteomes of the barley aleurone layer: a model system for plant signalling and protein secretion. *Proteomics* 11: 1595-1605.
- Ho, T. H. D., Gomez-Cadenas, A., Zentella, R. and Casaretto, J. (2003) Crosstalk between gibberellin and abscisic acid in cereal aleurone layer. *Plant Growth Regulation* 22: 185-194.
- Ishibashi, Y. (2012) Role of ROS on GA/ABA signaling in aleurone cells. *Plant Physiology* 158: 1705-1714.

(AsA) به منودهیدرو آسکوربیات (MDHA) انجام می شود. این ماده نیز متعاقبا به AsA و دهیدروآسکوربیات (DHA) تبدیل می شود. آنزیم های MDHA ردوکتاز (MDHAR) و DHA ردوکتاز (DHAR) احیای MDHA و DHA و تبدیل آن به AsA را کاتالیز می کنند. آنزیم GR فرم اکسید شده گلوتاتیون (GSSG) را به فرم احیائی آن (GSH) تبدیل می کند. در بذر جو تا کنون دو ژن کد کننده Apx شناسایی شده است. آنالیز بیان ژن با استفاده از RT-PCR نشان داد رونوشت برای هر دو ژن Apx1 و Apx2 در جنین بالغ و در حال جوانه زنی وجود دارد و مقدار آنها با پیشرفت مراحل جوانه زنی افزایش یافته. با این حال مطالعه در سطح پروتئین با استفاده از ژل دو بعدی و اسپکترومتری جرمی منجر به تشخیص هیچکدام از دو ایزوفرم Apx1 و Apx2 در پروتئین محلول کل استخراج شده از بذرهای بالغ نشد. در هنگام جوانه زنی پس از ۲۴ ساعت در جنین بذرهای در حال جوانه زنی Apx1 در ژل دو بعدی مشاهده شد و مقدار آن در طول جوانه زنی افزایش یافت (Jones., 1969). ایزوفرم Apx2 در ژل دو بعدی ران شده با پروتئین استخراج شده از جنین در مراحل مختلف جوانه زنی مشاهده نشد. در مطالعه حاضر وجود رونوشت های هر دو ژن Apx1 و Apx2 در لایه آرلون نشان می دهد که هر دو ایزوفرم در لایه آرلون در کنترل ROS درگیر می باشند. با این حال بررسی در سطح پروتئین ضروری به نظر می رسد. با توجه با اینکه سطح بیان این دو ژن در لایه های آرلون تیمار شده با هورمونهای ABA، GA و SA نسبت به کنترل تغییری نکرد به نظر می رسد بیان این دو ژن توسط هیچ یک از هورمونهای ABA و SA در لایه آرلون در سطح روتویسی تنظیم

منابع:

- Bethke, P., Lonsdale, J. E., Fath, A. and Jones, R. L. (1999) Hormonally regulated programmed cell death in barley aleurone cells. *Plant Cell* 11: 1033-1046.
- Bonsager, B. C., Shahpiri, A. Finnie, C. and Svensson, B. (2010) Proteomic and activity profiles of ascorbate-glutathione cycle enzymes in germinating barley embryo. *Phytochemistry* 71: 1650-1655.
- Fath, A., Bethke, P., Beligni, V. and Jones, R. (2002) Active oxygen and cell death in cereal aleurone

- Olsen, O. A. (2001) Endosperm development: Cellularization and cell fate specification. Annual Review of Plant Physiology and Plant Molecular Biology 52: 233–267.
- Ritchie, S., Swanson S. J. and Gilroy, S. (2000) Physiology of the aleurone and starchy endosperm during grain development and early seedling growth: new insights from cell and molecular biology. Seed Science Research 10: 193-222.
- Rock, C. (2000) Pathways to abscisic acid-regulated gene expression. New Phytologist 148: 357–396.
- Zentella, R., Yamauchi, D. and Ho, T. D. (2002) Molecular dissection of the gibberellin/abscisic acid signaling pathways by transiently expressed RNA interference in barley aleurone cells. Plant Cell 14: 2289–2301.
- Jones, R. L. (1969) The structure of barley aleurone cells. Planta 85: 359-374.
- Kuo, A., Cappelluti, S., Cervantes, M., Rodriguez, M. and Bush, D. S. (1996) Okadaic acid, a protein phosphatase inhibitor, blocks calcium changes, gene expression, and cell death induced by gibberellin in wheat aleurone cells. Plant Cell 8: 259–269.
- Leung, J. and Giraudat, J. (1998) Abscisic acid signal transduction. Annual Review of Plant Physiology 49: 199–222.
- Mittler, R., Vanderauwera, S., Gollery, M. and VanBreusegem, F. (2004) Reactive oxygen gene network of plants. Trends. Plant Science 9: 490–498.
- Mohanty, N. (2003) Photosynthetic characteristics and enzymatic antioxidant capacity of flag leaf and the grain yield in two cultivars of *Triticum aestivum* (L.) exposed to warmer growth conditions. Journal of Plant Physiology 160: 71-74.